

Forces nucléaires effectives : l'onde D, extension du modèle de Skyrme

P. Becker

Institut de Physique Nucléaire de Lyon

19 Novembre 2014

Rencontres Jeunes Chercheurs Strasbourg



Contexte de l'onde D

Étude microscopique de la matière nucléaire

- Physique nucléaire de basse énergie
→ Structure nucléaire.
- Problème à N-corps
- Théorie de champ moyen
- Emploi de forces effectives phénoménologiques
(interaction de Skyrme)
- Méthode de la fonctionnelle de la densité de l'énergie
nucléaire.

Sommaire

- 1 Pseudo-potentiel de Skyrme et onde D
 - Pseudo-potentiel de Skyrme
 - Extension avec onde D

- 2 Ajustement des canaux nucléaires avec l'onde D
 - Ajustement des équations d'états des canaux nucléaires
 - Ajustement de l'équation d'état globale

- 3 Equation du champ moyen en symétrie sphérique
 - Contexte
 - Équation différentielle de champ moyen

Introduction

- Forces nucléaires effectives
- Pseudo-potentiel de Skyrme
 - portée nulle
 - termes en gradients (ordre 2) -> simuler portée finie
 - autres termes phénoménologiques (onde D, tenseur, 3 et 4 corps)
- Transformé par Vautherin et Brink -> utilisation pratique
- Collaboration UNEDF -> extension indispensable
- Une proposition: nouvelle onde D

Sommaire

- 1** Pseudo-potentiel de Skyrme et onde D
 - Pseudo-potentiel de Skyrme
 - Extension avec onde D

- 2** Ajustement des canaux nucléaires avec l'onde D
 - Ajustement des équations d'états des canaux nucléaires
 - Ajustement de l'équation d'état globale

- 3** Equation du champ moyen en symétrie sphérique
 - Contexte
 - Équation différentielle de champ moyen

Pseudo-potentiel standard

Interaction standard de Skyrme: (*version Vautherin et Brink*)

$$v(\mathbf{r}_1, \mathbf{r}_2)_{\text{Skyrme}} = t_0 (1 + x_0 P_\sigma) \delta(\mathbf{r}) \quad (1)$$

$$+ \frac{1}{2} t_1 (1 + x_1 P_\sigma) [\mathbf{k}'^2 \delta(\mathbf{r}) + \delta(\mathbf{r}) \mathbf{k}^2]$$

$$+ t_2 (1 + x_2 P_\sigma) \mathbf{k}' \cdot \delta(\mathbf{r}) \mathbf{k} \quad (2)$$

$$+ \frac{1}{6} t_3 (1 + x_3 P_\sigma) \rho^\alpha(R) \delta(\mathbf{r}) \quad (3)$$

$$+ iW_0 \sigma \cdot [\mathbf{k}' \times \delta(\mathbf{r}) \mathbf{k}] \quad (4)$$

Propriétés:

- de portée nulle
- non-relativiste
- 10 paramètres

Pseudo-potentiel standard

Interaction standard de Skyrme: (*version Vautherin et Brink*)

$$v(\mathbf{r}_1, \mathbf{r}_2)_{Skyrme} = t_0 (1 + x_0 P_\sigma) \delta(\mathbf{r}) \quad (1)$$

$$+ \frac{1}{2} t_1 (1 + x_1 P_\sigma) [\mathbf{k}'^2 \delta(\mathbf{r}) + \delta(\mathbf{r}) \mathbf{k}^2]$$

$$+ t_2 (1 + x_2 P_\sigma) \mathbf{k}' \cdot \delta(\mathbf{r}) \mathbf{k} \quad (2)$$

$$+ \frac{1}{6} t_3 (1 + x_3 P_\sigma) \rho^\alpha(R) \delta(\mathbf{r}) \quad (3)$$

$$+ iW_0 \sigma \cdot [\mathbf{k}' \times \delta(\mathbf{r}) \mathbf{k}] \quad (4)$$

Propriétés:

- de portée nulle
- non-relativiste
- 10 paramètres

Pseudo-potentiel standard

Interaction standard de Skyrme: (*version Vautherin et Brink*)

$$v(\mathbf{r}_1, \mathbf{r}_2)_{\text{Skyrme}} = t_0 (1 + x_0 P_\sigma) \delta(\mathbf{r}) \quad (1)$$

$$+ \frac{1}{2} t_1 (1 + x_1 P_\sigma) [\mathbf{k}'^2 \delta(\mathbf{r}) + \delta(\mathbf{r}) \mathbf{k}^2]$$

$$+ t_2 (1 + x_2 P_\sigma) \mathbf{k}' \cdot \delta(\mathbf{r}) \mathbf{k} \quad (2)$$

$$+ \frac{1}{6} t_3 (1 + x_3 P_\sigma) \rho^\alpha(R) \delta(\mathbf{r}) \quad (3)$$

$$+ iW_0 \sigma \cdot [\mathbf{k}' \times \delta(\mathbf{r}) \mathbf{k}] \quad (4)$$

Propriétés:

- de portée nulle
- non-relativiste
- 10 paramètres

Pseudo-potentiel standard

Interaction standard de Skyrme: (*version Vautherin et Brink*)

$$v(\mathbf{r}_1, \mathbf{r}_2)_{\text{Skyrme}} = t_0 (1 + x_0 P_\sigma) \delta(\mathbf{r}) \quad (1)$$

$$+ \frac{1}{2} t_1 (1 + x_1 P_\sigma) [\mathbf{k}'^2 \delta(\mathbf{r}) + \delta(\mathbf{r}) \mathbf{k}^2]$$

$$+ t_2 (1 + x_2 P_\sigma) \mathbf{k}' \cdot \delta(\mathbf{r}) \mathbf{k} \quad (2)$$

$$+ \frac{1}{6} t_3 (1 + x_3 P_\sigma) \rho^\alpha(R) \delta(\mathbf{r}) \quad (3)$$

$$+ iW_0 \sigma \cdot [\mathbf{k}' \times \delta(\mathbf{r}) \mathbf{k}] \quad (4)$$

Propriétés:

- de portée nulle
- non-relativiste
- 10 paramètres

Pseudo-potentiel standard

Interaction standard de Skyrme: (*version Vautherin et Brink*)

$$v(\mathbf{r}_1, \mathbf{r}_2)_{\text{Skyrme}} = t_0 (1 + x_0 P_\sigma) \delta(\mathbf{r}) \quad (1)$$

$$+ \frac{1}{2} t_1 (1 + x_1 P_\sigma) [\mathbf{k}'^2 \delta(\mathbf{r}) + \delta(\mathbf{r}) \mathbf{k}^2]$$

$$+ t_2 (1 + x_2 P_\sigma) \mathbf{k}' \cdot \delta(\mathbf{r}) \mathbf{k} \quad (2)$$

$$+ \frac{1}{6} t_3 (1 + x_3 P_\sigma) \rho^\alpha(R) \delta(\mathbf{r}) \quad (3)$$

$$+ iW_0 \sigma \cdot [\mathbf{k}' \times \delta(\mathbf{r}) \mathbf{k}] \quad (4)$$

Propriétés:

- de portée nulle
- non-relativiste
- 10 paramètres

Pseudo-potentiel standard

Interaction standard de Skyrme: (*version Vautherin et Brink*)

$$v(\mathbf{r}_1, \mathbf{r}_2)_{Skyrme} = t_0 (1 + x_0 P_\sigma) \delta(\mathbf{r}) \quad (1)$$

$$+ \frac{1}{2} t_1 (1 + x_1 P_\sigma) [\mathbf{k}'^2 \delta(\mathbf{r}) + \delta(\mathbf{r}) \mathbf{k}^2]$$

$$+ t_2 (1 + x_2 P_\sigma) \mathbf{k}' \cdot \delta(\mathbf{r}) \mathbf{k} \quad (2)$$

$$+ \frac{1}{6} t_3 (1 + x_3 P_\sigma) \rho^\alpha(R) \delta(\mathbf{r}) \quad (3)$$

$$+ iW_0 \sigma \cdot [\mathbf{k}' \times \delta(\mathbf{r}) \mathbf{k}] \quad (4)$$

Propriétés:

- de portée nulle
- non-relativiste
- 10 paramètres

Pseudo-potentiel standard

Interaction standard de Skyrme: (*version Vautherin et Brink*)

$$v(\mathbf{r}_1, \mathbf{r}_2)_{\text{Skyrme}} = t_0 (1 + x_0 P_\sigma) \delta(\mathbf{r}) \quad (1)$$

$$+ \frac{1}{2} t_1 (1 + x_1 P_\sigma) [\mathbf{k}'^2 \delta(\mathbf{r}) + \delta(\mathbf{r}) \mathbf{k}^2]$$

$$+ t_2 (1 + x_2 P_\sigma) \mathbf{k}' \cdot \delta(\mathbf{r}) \mathbf{k} \quad (2)$$

$$+ \frac{1}{6} t_3 (1 + x_3 P_\sigma) \rho^\alpha(R) \delta(\mathbf{r}) \quad (3)$$

$$+ iW_0 \sigma \cdot [\mathbf{k}' \times \delta(\mathbf{r}) \mathbf{k}] \quad (4)$$

Propriétés:

- de portée nulle
- non-relativiste
- 10 paramètres

Pseudo-potentiel standard

Interaction standard de Skyrme: (*version Vautherin et Brink*)

$$v(\mathbf{r}_1, \mathbf{r}_2)_{\text{Skyrme}} = t_0 (1 + x_0 P_\sigma) \delta(\mathbf{r}) \quad (1)$$

$$+ \frac{1}{2} t_1 (1 + x_1 P_\sigma) [\mathbf{k}'^2 \delta(\mathbf{r}) + \delta(\mathbf{r}) \mathbf{k}^2]$$

$$+ t_2 (1 + x_2 P_\sigma) \mathbf{k}' \cdot \delta(\mathbf{r}) \mathbf{k} \quad (2)$$

$$+ \frac{1}{6} t_3 (1 + x_3 P_\sigma) \rho^\alpha(R) \delta(\mathbf{r}) \quad (3)$$

$$+ iW_0 \sigma \cdot [\mathbf{k}' \times \delta(\mathbf{r}) \mathbf{k}] \quad (4)$$

Propriétés:

- de portée nulle
- non-relativiste
- 10 paramètres

Pseudo-potentiel standard

Interaction standard de Skyrme: (*version Vautherin et Brink*)

$$v(\mathbf{r}_1, \mathbf{r}_2)_{\text{Skyrme}} = t_0 (1 + x_0 P_\sigma) \delta(\mathbf{r}) \quad (1)$$

$$+ \frac{1}{2} t_1 (1 + x_1 P_\sigma) [\mathbf{k}'^2 \delta(\mathbf{r}) + \delta(\mathbf{r}) \mathbf{k}^2]$$

$$+ t_2 (1 + x_2 P_\sigma) \mathbf{k}' \cdot \delta(\mathbf{r}) \mathbf{k} \quad (2)$$

$$+ \frac{1}{6} t_3 (1 + x_3 P_\sigma) \rho^\alpha(R) \delta(\mathbf{r}) \quad (3)$$

$$+ iW_0 \sigma \cdot [\mathbf{k}' \times \delta(\mathbf{r}) \mathbf{k}] \quad (4)$$

Propriétés:

- de portée nulle
- non-relativiste
- 10 paramètres

Pseudo-potentiel standard

Interaction standard de Skyrme: (*version Vautherin et Brink*)

$$v(\mathbf{r}_1, \mathbf{r}_2)_{Skyrme} = t_0 (1 + x_0 P_\sigma) \delta(\mathbf{r}) \quad (1)$$

$$+ \frac{1}{2} t_1 (1 + x_1 P_\sigma) [\mathbf{k}'^2 \delta(\mathbf{r}) + \delta(\mathbf{r}) \mathbf{k}^2]$$

$$+ t_2 (1 + x_2 P_\sigma) \mathbf{k}' \cdot \delta(\mathbf{r}) \mathbf{k} \quad (2)$$

$$+ \frac{1}{6} t_3 (1 + x_3 P_\sigma) \rho^\alpha(R) \delta(\mathbf{r}) \quad (3)$$

$$+ iW_0 \sigma \cdot [\mathbf{k}' \times \delta(\mathbf{r}) \mathbf{k}] \quad (4)$$

- Propriétés:
- de portée nulle
 - non-relativiste
 - 10 paramètres

Pseudo-potentiel avec onde D

$$\begin{aligned}v(\mathbf{r}_1, \mathbf{r}_2)_{Sk} &= t_0 (1 + x_0 P_\sigma) + \frac{1}{2} t_1 (1 + x_1 P_\sigma) [\mathbf{k}'^2 + \mathbf{k}^2] \\ &+ t_2 (1 + x_2 P_\sigma) \mathbf{k}' \cdot \mathbf{k} + \frac{1}{6} t_3 (1 + x_3 P_\sigma) \rho^\alpha(R) \\ &+ iW_0 \sigma \cdot [\mathbf{k}' \times \mathbf{k}] \\ &+ \frac{1}{4} t_1^{(4)} (1 + x_1^{(4)} P_\sigma) [(\mathbf{k}^2 + \mathbf{k}'^2)^2 + 4(\mathbf{k}' \cdot \mathbf{k})^2] \\ &+ t_2^{(4)} (1 + x_2^{(4)} P_\sigma) (\mathbf{k}' \cdot \mathbf{k}) (\mathbf{k}^2 + \mathbf{k}'^2)\end{aligned}\quad (5)$$

- Apparaît naturellement
- Invariance de jauge
- Analogie avec termes standard
- 14 paramètres

Pseudo-potentiel avec onde D

$$\begin{aligned}v(\mathbf{r}_1, \mathbf{r}_2)_{Sk} &= t_0 (1 + x_0 P_\sigma) + \frac{1}{2} t_1 (1 + x_1 P_\sigma) [\mathbf{k}'^2 + \mathbf{k}^2] \\ &+ t_2 (1 + x_2 P_\sigma) \mathbf{k}' \cdot \mathbf{k} + \frac{1}{6} t_3 (1 + x_3 P_\sigma) \rho^\alpha(R) \\ &+ iW_0 \sigma \cdot [\mathbf{k}' \times \mathbf{k}] \\ &+ \frac{1}{4} t_1^{(4)} (1 + x_1^{(4)} P_\sigma) [(\mathbf{k}^2 + \mathbf{k}'^2)^2 + 4(\mathbf{k}' \cdot \mathbf{k})^2] \\ &+ t_2^{(4)} (1 + x_2^{(4)} P_\sigma) (\mathbf{k}' \cdot \mathbf{k}) (\mathbf{k}^2 + \mathbf{k}'^2)\end{aligned}\quad (5)$$

- Apparaît naturellement
- Invariance de jauge
- Analogie avec termes standard
- 14 paramètres

Pseudo-potentiel avec onde D

$$\begin{aligned}v(\mathbf{r}_1, \mathbf{r}_2)_{Sk} &= t_0 (1 + x_0 P_\sigma) + \frac{1}{2} t_1 (1 + x_1 P_\sigma) [\mathbf{k}'^2 + \mathbf{k}^2] \\ &+ t_2 (1 + x_2 P_\sigma) \mathbf{k}' \cdot \mathbf{k} + \frac{1}{6} t_3 (1 + x_3 P_\sigma) \rho^\alpha(R) \\ &+ iW_0 \sigma \cdot [\mathbf{k}' \times \mathbf{k}] \\ &+ \frac{1}{4} t_1^{(4)} (1 + x_1^{(4)} P_\sigma) [(\mathbf{k}^2 + \mathbf{k}'^2)^2 + 4(\mathbf{k}' \cdot \mathbf{k})^2] \\ &+ t_2^{(4)} (1 + x_2^{(4)} P_\sigma) (\mathbf{k}' \cdot \mathbf{k}) (\mathbf{k}^2 + \mathbf{k}'^2)\end{aligned}\quad (5)$$

- Apparaît naturellement
- Invariance de jauge
- Analogie avec termes standard
- 14 paramètres

Où est l'onde D?

Un terme comme $(\mathbf{k}' \cdot \mathbf{k})^2$ de l'équation précédente fait apparaître un $\cos^2 \omega_{kk'}$. On utilise:

$$P_l(\cos \omega_{12}) = \frac{4\pi}{2l+1} \sum_m Y_{\ell m}^*(\Omega_1) Y_{\ell m}(\Omega_2) \quad (6)$$

Contribution en moment orbital $\ell=2$:

$$\begin{aligned} \cos^2 (\omega_{kk'}) &= \frac{2}{3} P_2(\cos \omega_{kk'}) + \frac{1}{3} \\ &= \frac{8\pi}{15} \sum_m Y_{2m}^*(\Omega_1) Y_{2m}(\Omega_2) + \frac{1}{3} \end{aligned} \quad (7)$$

Sommaire

- 1 Pseudo-potentiel de Skyrme et onde D
 - Pseudo-potentiel de Skyrme
 - Extension avec onde D
- 2 Ajustement des canaux nucléaires avec l'onde D
 - Ajustement des équations d'états des canaux nucléaires
 - Ajustement de l'équation d'état globale
- 3 Equation du champ moyen en symétrie sphérique
 - Contexte
 - Équation différentielle de champ moyen

Equations d'états des canaux nucléaires:

$$E/A (S = 0, T = 0) = \frac{3}{160} (1 - x_2) t_2 \rho k_f^2 + \frac{9}{560} (1 - x_2^{(4)}) t_2^{(4)} \rho k_f^4$$

$$E/A (S = 0, T = 1) = 3 \left[t_0 (1 - x_0) \frac{\rho}{16} + \frac{t_3}{96} (1 - x_3) \rho^{\alpha+1} + \frac{3}{160} t_1 (1 - x_1) \rho k_f^2 + \frac{9}{560} t_1^{(4)} (1 - x_1^{(4)}) \rho k_f^4 \right]$$

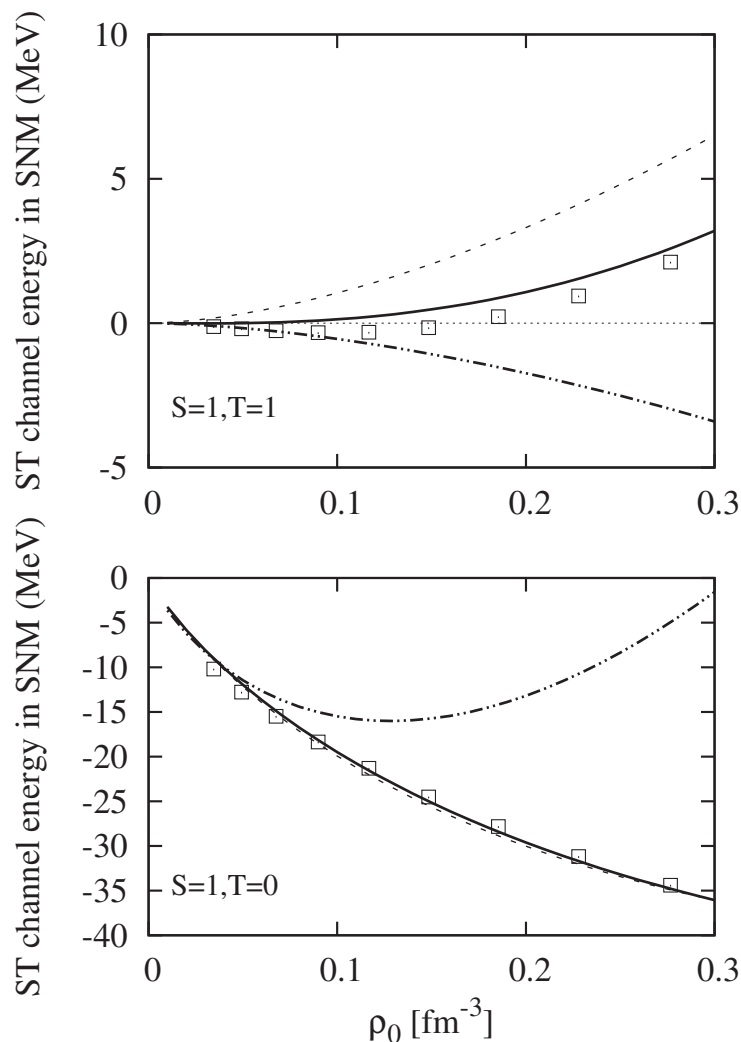
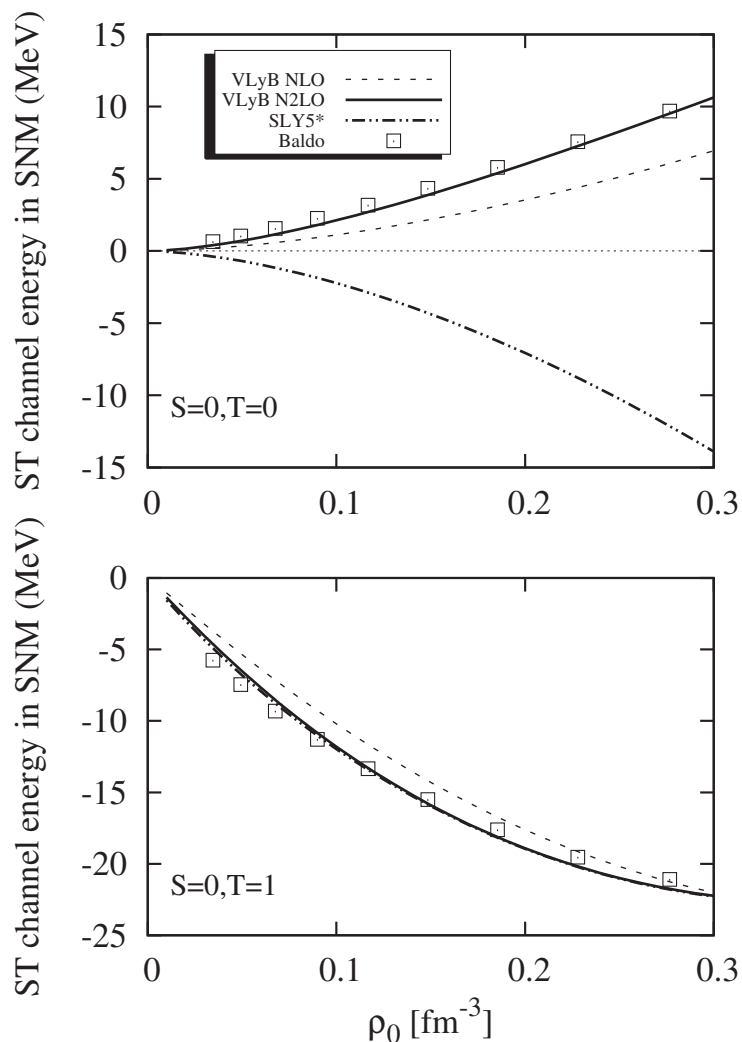
$$E/A (S = 1, T = 0) = 3 \left[t_0 (1 + x_0) \frac{\rho}{16} + \frac{t_3}{96} (1 + x_3) \rho^{\alpha+1} + \frac{3}{160} t_1 (1 + x_1) \rho k_f^2 + \frac{9}{560} t_1^{(4)} (1 + x_1^{(4)}) \rho k_f^4 \right]$$

$$E/A (S = 1, T = 1) = 9 \left[\frac{3}{160} (1 + x_2) t_2 \rho k_f^2 + \frac{9}{560} (1 + x_2^{(4)}) t_2^{(4)} \rho k_f^4 \right]$$

On constate une symétrie entre les canaux:

- (S=0, T=0) et (S=1, T=1) composés d'ondes **impaires**.
- (S=0, T=1) et (S=1, T=0) composés d'ondes **paires**.

Ajustement des équations d'états des canaux



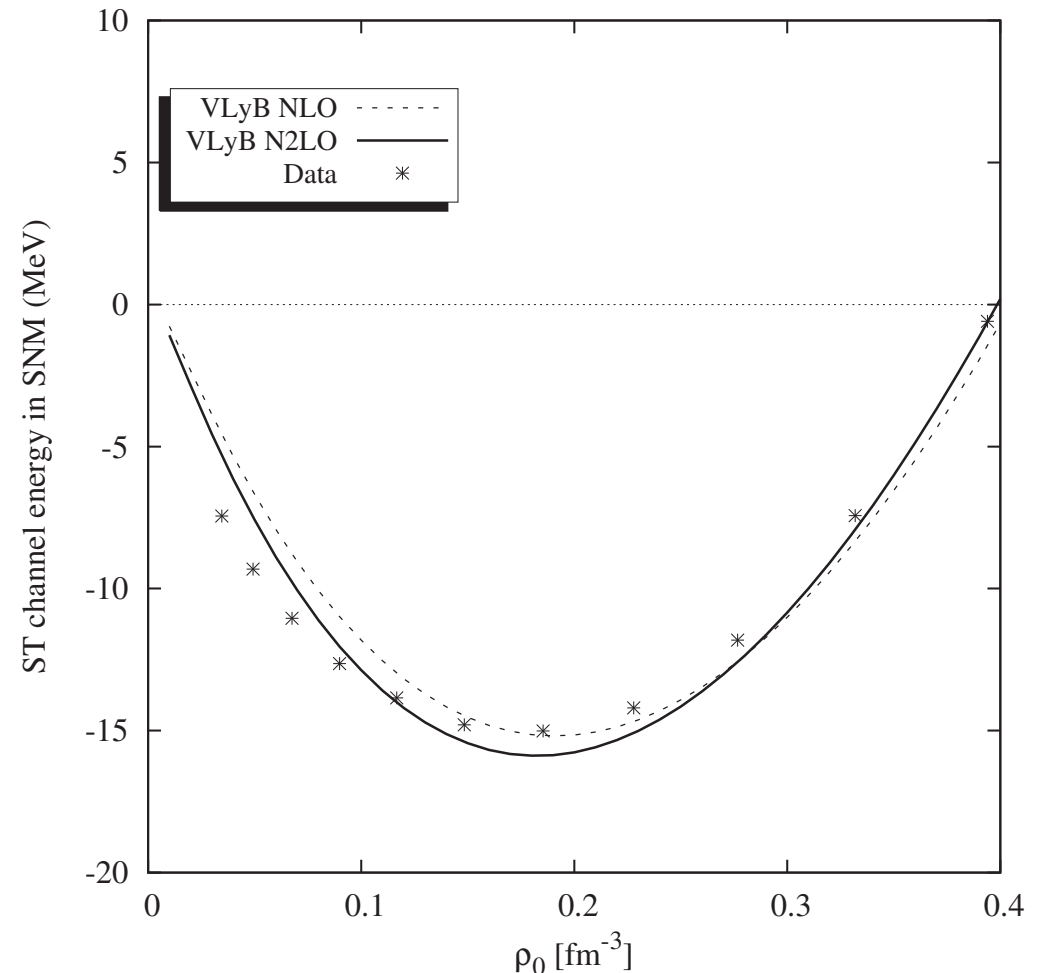
Ajustement de l'équation d'état globale

Equation d'état globale (N2LO) :

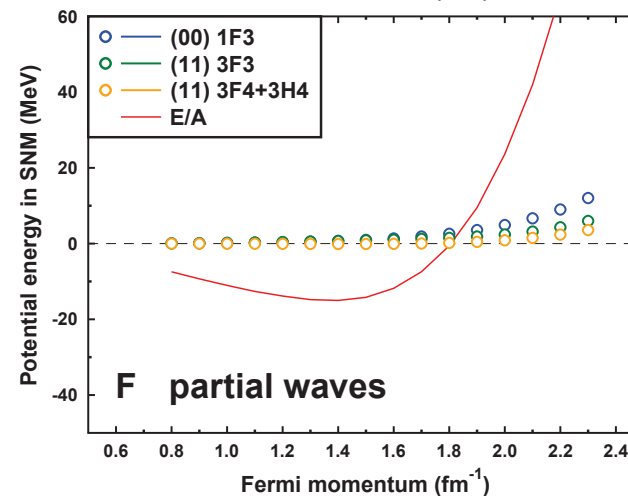
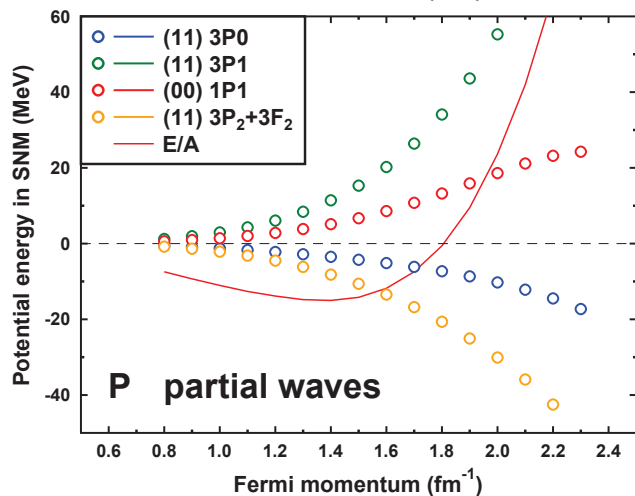
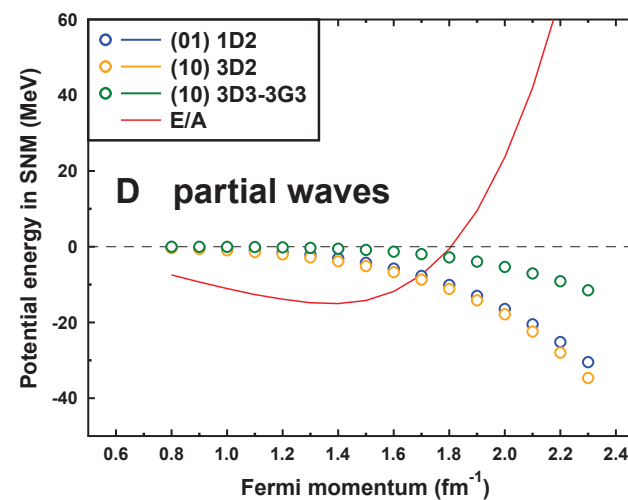
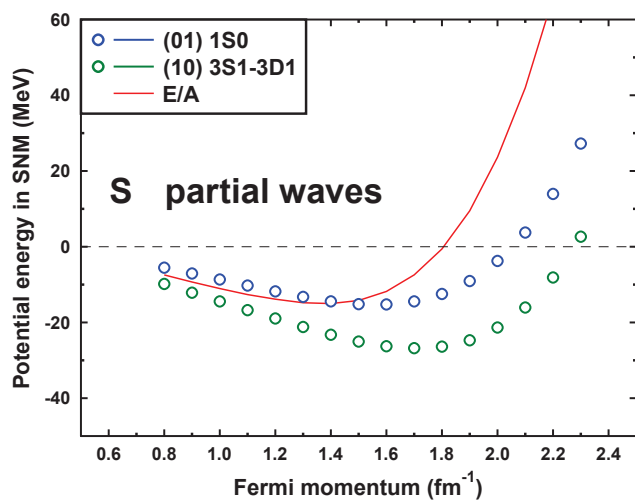
$$\begin{aligned} \frac{E}{A} &= \frac{3}{5} \frac{\hbar^2}{2m} k_F^2 + \frac{3}{8} t_0 \rho + \frac{1}{16} t_3 \rho^{1+\alpha} \\ &+ \frac{3}{80} [3t_1 + (5 + 4x_2)t_2] \rho k_F^2 \\ &+ \frac{9}{280} [3t_1^{(4)} + (5 + 4x_2^{(4)})t_2^{(4)}] \rho k_F^4 \end{aligned}$$

Conclusion :

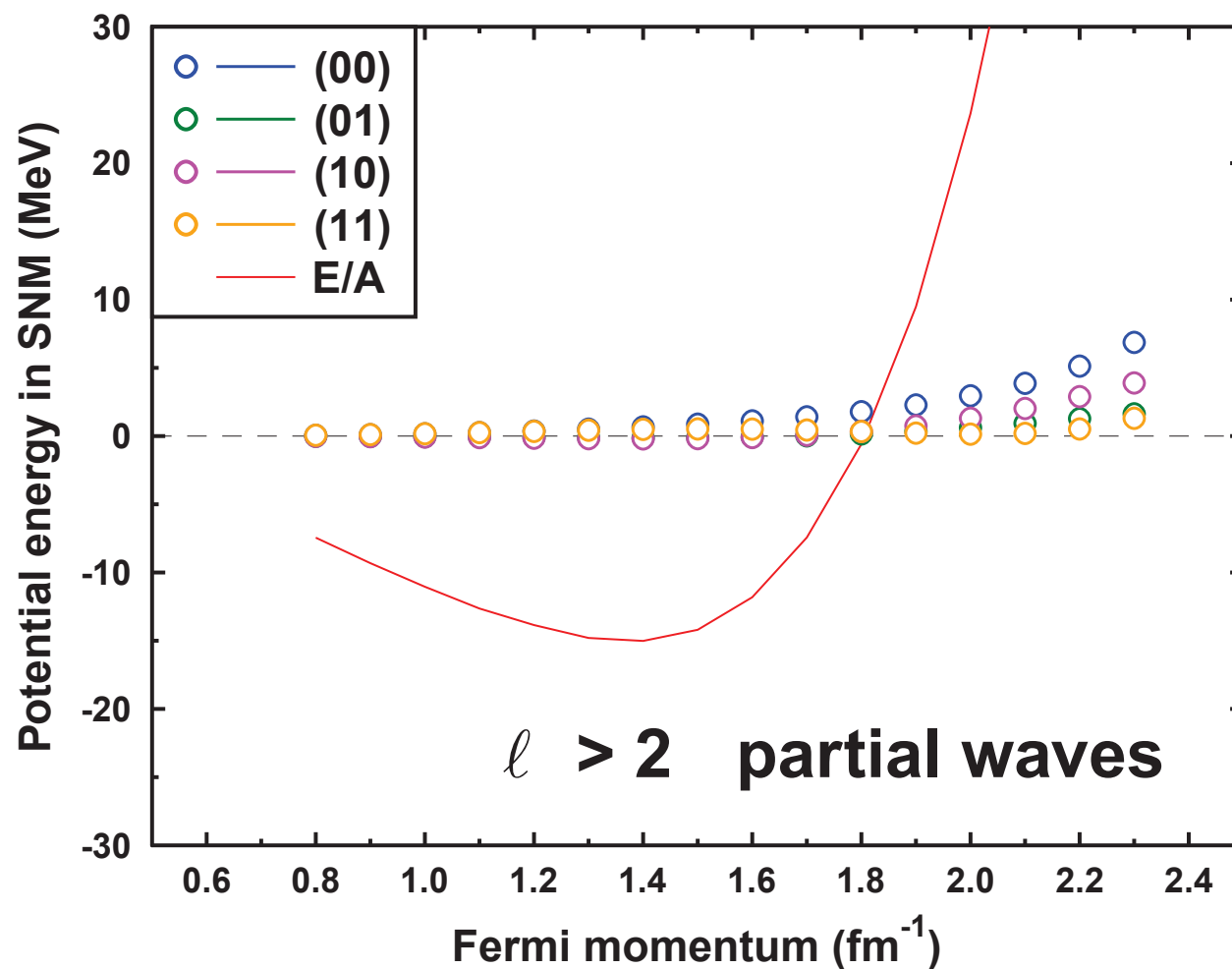
- Interaction standard NLO de Skyrme **limitée**
- Interaction avec onde D décrit toutes les équations d'états -> Nouvelle flexibilité
- Possibilité de décrire canaux nucléaire + contraintes expérimentales ?



Justification de l'onde D



Justification de l'onde D



Sommaire

- 1 Pseudo-potentiel de Skyrme et onde D
 - Pseudo-potentiel de Skyrme
 - Extension avec onde D

- 2 Ajustement des canaux nucléaires avec l'onde D
 - Ajustement des équations d'états des canaux nucléaires
 - Ajustement de l'équation d'état globale

- 3 Equation du champ moyen en symétrie sphérique
 - Contexte
 - Équation différentielle de champ moyen

Equation du champ moyen

But: Incorporer notre onde D dans des processus d'ajustement.

- Utilisation de la fonctionnelle dérivant de notre pseudo-potentiel.
- On cherche $\hat{h}_q(\mathbf{r})$

$$\hat{h}_q(\mathbf{r}) \psi_i(\mathbf{r}) = \varepsilon_i \psi_i(\mathbf{r}) . \quad (8)$$

- Hypothèse de symétrie sphérique (noyaux magiques)

$$\psi_{nljmq}(\mathbf{r}) = \frac{1}{r} R_{nljq}(r) \Omega_{ljm}(\hat{r}) \quad , \quad (9)$$

Equation du champ moyen

On obtient finalement:

$$A_4 R_{nlj}^{(4)} + A_3 R_{nlj}^{(3)} + A_2 R_{nlj}^{(2)} + A_1 R_{nlj}^{(1)} + A_0 R_{nlj} = \epsilon_{nlj} R_{nlj}. \quad (10)$$

Equation différentielle du quatrième ordre.

Coefficients A_i dépendant des densités $\rho_q(\mathbf{r})$ et $\tau_q(\mathbf{r})$.

$$\begin{aligned} \text{Par exemple, } A_1 = & -C_-^\tau \rho_0^{(1)} - 2C_1^\tau \rho_0^{(1)} \\ & + \frac{1}{4} C_-^{(4)M\rho} \left[3\tau_{0R}^{(1)} + \tau_{0C}^{(1)} - \rho_0^{(3)} \right] + \frac{1}{2} C_1^{(4)M\rho} \left[3\tau_{qR}^{(1)} + \tau_{qC}^{(1)} - \rho_q^{(3)} \right] \\ & + \frac{\ell(\ell+1)}{r^2} \left[\frac{1}{4} C_-^{(4)M\rho} \left(\rho_0^{(1)} - 2\frac{\rho_0}{r} \right) + \frac{1}{2} C_1^{(4)M\rho} \left(\rho_q^{(1)} - 2\frac{\rho_q}{r} \right) \right] \end{aligned} \quad (11)$$

La résoudre → **calculs dans les noyaux et ajustements**

Masse effective

On obtient la masse effective par la formule:

$$\frac{1}{m^*(k)} = \frac{1}{k} \frac{dU(k)}{dk}, \quad (12)$$

U étant le potentiel de champ moyen. Ainsi, on obtient une masse effective:

$$\left(\frac{m}{m^*} \right) = 1 + \frac{2m}{\hbar^2} \rho_0 \left[\frac{1}{16} (3t_1 + t_2(5 + 4x_2)) + \frac{1}{16} (k_F^2 + k^2) (3t_1^{(4)} + t_2^{(4)}(5 + 4x_2^{(4)})) \right]. \quad (13)$$

Plus simplement,

$$\left(\frac{m}{m^*} \right) = 1 + \frac{2m}{\hbar^2} \rho_0 \left[C_0^T + \frac{1}{2} k_F^2 C_0^{(4)M\rho} \right]. \quad (14)$$

Avec la relation,

$$\rho = \frac{2}{3\pi^2} k_F^3, \quad (15)$$

Conclusion

- **L'onde D** est une extension possible au pseudo-potentiel de Skyrme.
- Elle permet **à la fois** de reproduire l'équation d'état des canaux nucléaires et l'équation d'état totale, contrairement à l'interaction standard.
- **L'équation de champ moyen associée** a été déterminée.
- Perspectives
 - Résoudre l'équation du champ moyen.
 - Examiner la masse effective
 - Envisager d'ajouter à cette onde D une force à 3 corps plus réaliste
 - Méthode de la réponse linéaire

Pour aller plus loin (Published in Journal of Physics G)

Tools for incorporating a D-wave contribution in Skyrme energy density functionals

P. Becker, D. Davesne, J. Meyer

Université de Lyon, F-69622 Lyon, France,
Université Lyon 1, Villeurbanne; CNRS/IN2P3, UMR5822, Institut de Physique
Nucléaire de Lyon

A. Pastore

Institut d'Astronomie et d'Astrophysique, CP 226, Université Libre de Bruxelles,
B-1050 Bruxelles, Belgium

J. Navarro

IFIC (CSIC-Universidad de Valencia), Apartado Postal 22085, E-46.071-Valencia,
Spain

Abstract. The possibility of adding a D-wave term to the standard Skyrme effective interaction has been widely considered in the past. Such a term has been shown to appear in the next-to-next-to-leading order of the Skyrme pseudo-potential. The aim of the present article is to provide the necessary tools to incorporate this term in a fitting procedure: first, a mean-field equation written in spherical symmetry in order to describe spherical nuclei and second, the response function to detect unphysical instabilities. With these tools it will be possible to build a new fitting procedure to determine the coupling constants of the new functional.